

Modelo de Anderson e Modelo de Kondo

Históricamente, os modelos de Kondo e Anderson apareceram com o objetivo de se estudar a formação de momentos magnéticos em metais e como esses momentos magnéticos interagem com os elétrons de condução.

Tomemos, por exemplo, impurezas de Mn (ou algum elemento com forte tendência a formar de momentos magnéticos → camadas ~~de~~ ou ~~em~~ não totalmente presocheadas) numa matriz metálica de comportamento simples, como, p. ex., os metais nobres (Cu, Ag, Au) que não têm comportamento magnético forte (são paramagnétos de Pauli → ver Ashcroft + Mermin: "Solid State Physics"). Nesse caso, os íons das impurezas podem apresentar "momentos localizados" ou não. Por momentos localizados, queremos dizer um spin localizado em um sítio de impureza (o momento angular ~~de~~ orbital dos íons de metais de transição é, na maioria das vezes, "bindado" ("bound") pelos campos cristalinos → ver Ashcroft Mermin: "Solid State Physics"). A maneira direta de se medir a presença ou ~~a~~ ausência desses momentos magnéticos localizados é através de medidas de susceptibilidade magnética em função da temperatura. Um spin livre apresenta uma susceptibilidade dada pela Lei de Curie:

$$\chi(T) = \frac{N_s S(S+1)(g\mu_B)^2}{3k_B T}$$

"Lei de Curie"

onde N_s é o número de spins, S é o spin total de cada momento local, g é o fator de Landé, μ_B o magneton de Bohr, k_B a constante de Boltzmann e T a temperatura absoluta (ver Ashcroft e Mermin: "Solid State Physics")

Queremos estudar sob quais condições o momento magnético é estabilizado. Para isso, vamos tentar estudar um modelo que tente descrever a física de uma impureza com espinos dentro numa matriz metálica. Como sempre, a ideia é escrever o modelo mais simples que contenha as interações mais importantes. Para isso, usaremos dois ingredientes básicos.

- (i) A matriz metálica é descrita por uma banda de elétrons com dispersão E_k e spin- $1/2$. Desprezamos
 - a - interações entre os elétrons da banda
 - b - a presença de outras bandas (de quarescências,

$$\rightarrow H_0 = \sum_{k\sigma} E_k C_{k\sigma}^\dagger C_{k\sigma}$$

(ii) A impureza magnética é descrita por um orbital ("d") não-degenerado, que pode ser ocupado por elétrons de spin \uparrow ou \downarrow . Desprezamos, possíveis degenerescências orbitais.

$$H_0 = \sum_{\sigma} \epsilon_d d_{\sigma}^{\dagger} d_{\sigma}$$

Para tornar o modelo não-trivial acrescentamos mais dois termos:

(iii) Uma libridização entre o orbital d e os ~~estados~~ de condução delocalizados.

$$H_1 = \sum_{k\sigma} (V_{k\sigma} [C_{k\sigma}^{\dagger} d_{\sigma} + V d_{\sigma}^{\dagger} C_{k\sigma}])$$

(iv) Uma interação tipo Hubbard entre os elétrons quando estes ocupam o estado d:

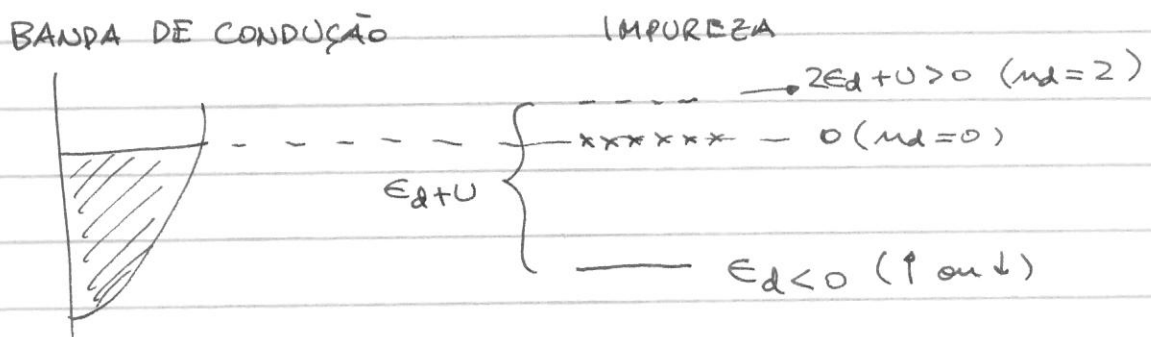
$$H_2 = U \sum_s d_s^{\dagger} d_s d_s^{\dagger} d_s$$

Desprezamos todos os outros termos na expectativa de que $H = H_0 + H_1 + H_2 + H_3$ já contenha os ingredientes necessários. Entre os termos desprezados estão interações entre os elétrons no nível -d e nos estados de condução, exchange direto, etc.

Esse é o modelo de Anderson:

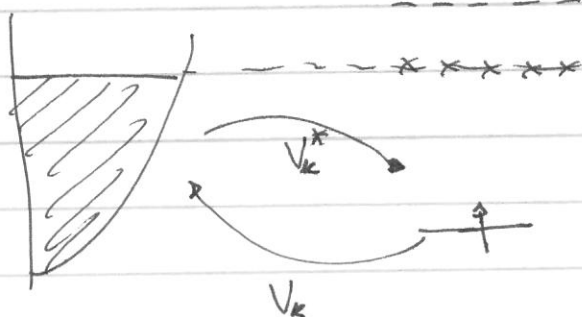
$$H = \sum_{k\sigma} \epsilon_k c_{k\sigma}^\dagger c_{k\sigma} + \epsilon_d \sum_\sigma d_\sigma^\dagger d_\sigma + \sum_{k\sigma} (V_k c_{k\sigma}^\dagger d_\sigma + H.c.) + U d_\sigma^\dagger d_\sigma d_\sigma^\dagger$$

Quando $V_k = 0$ ele se reduz a uma banda de condução não-correlacionada e uma impureza do tipo Hubbard. Podemos representar esquematicamente o modelo com $V_k = 0$ como: ($\epsilon_d < 0$ e $2\epsilon_d + U > 0$)



Para o caso da figura, $\epsilon_d < 0$ e $2\epsilon_d + U > 0$.
Está dito que nesse caso $nd = 1$ e o orbital d é ocupado por um elétron com spin \uparrow ou \downarrow .
 \Rightarrow FORMAÇÃO DE MOMENTO LOCAL

Quando a hibridização V_k é ligada, ela tende a fazer transições entre o orbital d e a banda de condução e o número de elétrons d não é um bom número quântico (nd não comuta com o termo de hibridização)



Limite atômico do modelo de Anderson

Quando $V_{\infty} = 0$, a impureza se desacopla da banda de condução. A impureza pode assumir 4 configurações:

Estado vazio: $M_{d\uparrow} = M_{d\downarrow} = 0$

$$\Rightarrow E_0 = 0$$

Estado duplamente ocupado: $M_{d\uparrow} = M_{d\downarrow} = 1$

$$\Rightarrow E_2 = 2E_d + U$$

Estado ocupado por um elétron: Esse caso é duplamente degenerado

$$M_{d\uparrow} = 1 \text{ e } M_{d\downarrow} = 0 \quad \text{ou} \quad M_{d\uparrow} = 0 \text{ e } M_{d\downarrow} = 1$$

Em ambos os casos:

$$\Rightarrow E_1 = E_d$$

Assim, por exemplo, o esquema de níveis fica:

\ominus

$\uparrow\downarrow$ } Caso em que:
 $E_d < 0$
 $E_d + U > 0$

$+$ ou \mp

Vamos estudar as condições necessárias para que o estado magnético ($\sum m_{do} = 1$) reje o estado fundamental nesse limite. Vemos ter:

$$E_0 > E_1 \Rightarrow 0 > \tilde{E}_d \quad (1)$$

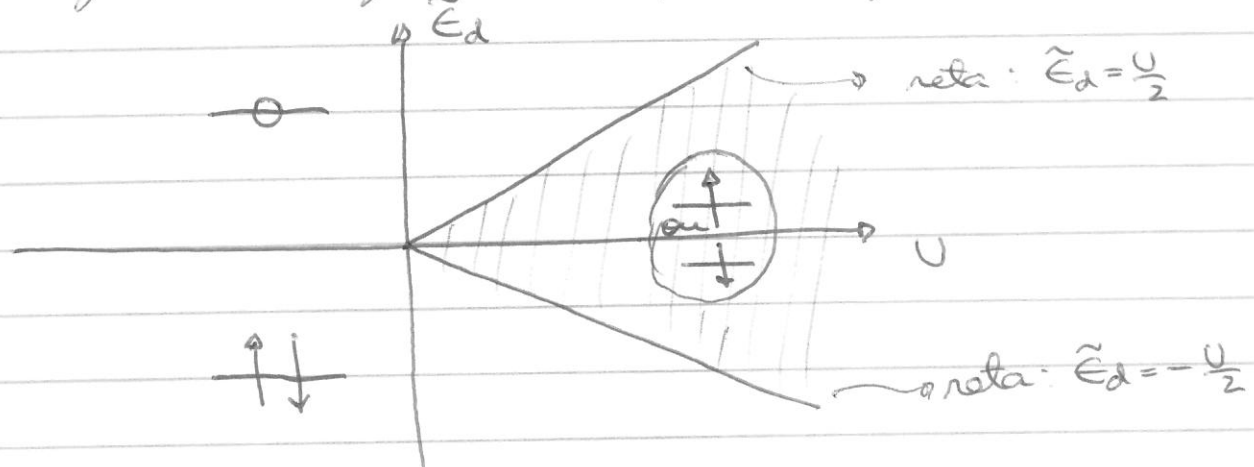
$$E_2 > E_1 \Rightarrow 2\tilde{E}_d + U > \tilde{E}_d \Rightarrow \tilde{E}_d + U > 0 \quad (2)$$

Se definirmos a quantidade $\tilde{E}_d \equiv \tilde{E}_d + \frac{U}{2}$ teremos:

$$(1) \Rightarrow \tilde{E}_d < \frac{U}{2}$$

$$(2) \Rightarrow \tilde{E}_d > -\frac{U}{2}$$

Graficamente, as desigualdades acima definem a seguinte região no espaço de parâmetros:



As outras regiões não caracterizadas por um estado fundamental vazio ou duplamente ocupado como pode ser verificado (faça isso você mesmo)

O modelo de Anderson, que foi proposto a fim de se discutir a formação de momentos locais, tem suas físcas simples. Suponhamos que $V \rightarrow +\infty$ e V é bem pequeno e vamos discutir o modelo na aproximação Hartree-Fock em que

$$U_{M_\sigma M_\tau} \approx (U \langle M_\sigma \rangle_{M_\tau} + U \langle M_\tau \rangle_{M_\sigma})$$

$$= U \sum_a \langle M_{a\sigma} \rangle_{M_{a\tau}}$$

$$\Rightarrow E_{d\sigma} = E_d + U \langle M_{-\sigma} \rangle$$

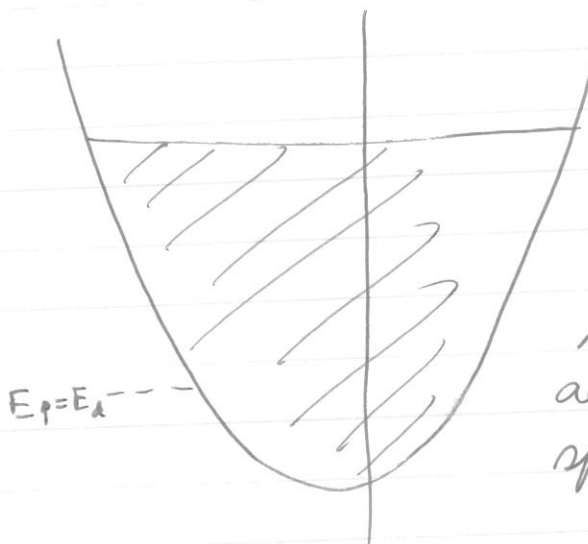
Suponhamos que o nível σ esteja momentaneamente ocupado por um elétron?

$$\langle M_\sigma \rangle = 1 \quad \langle M_\tau \rangle = 0$$

$$\Rightarrow E_1 = E_d < 0$$

$$E_+ = E_d + U > 0$$

$$-E_- = E_d + U$$



Logo, o nível σ permaneceria vazio e o τ ocupado. A situação é simétrica e o mesmo poderia acontecer se revertéssemos os spins.

Esse é o estado magnético procurado.

Por outro lado, se tivesse um número médio igual de elétrons \uparrow e \downarrow

$$\langle M_y \rangle = \langle M_z \rangle$$

teríamos a seguinte situação. Se $\langle M_x \rangle = \langle M_y \rangle = 0$ $\Rightarrow E_{\text{af}} = E_d < 0 \Rightarrow$ ele teria de ser preenchido pois ficaria abaixo do potencial químico. Por outro lado, se $\langle M_y \rangle = \langle M_z \rangle = \beta$:

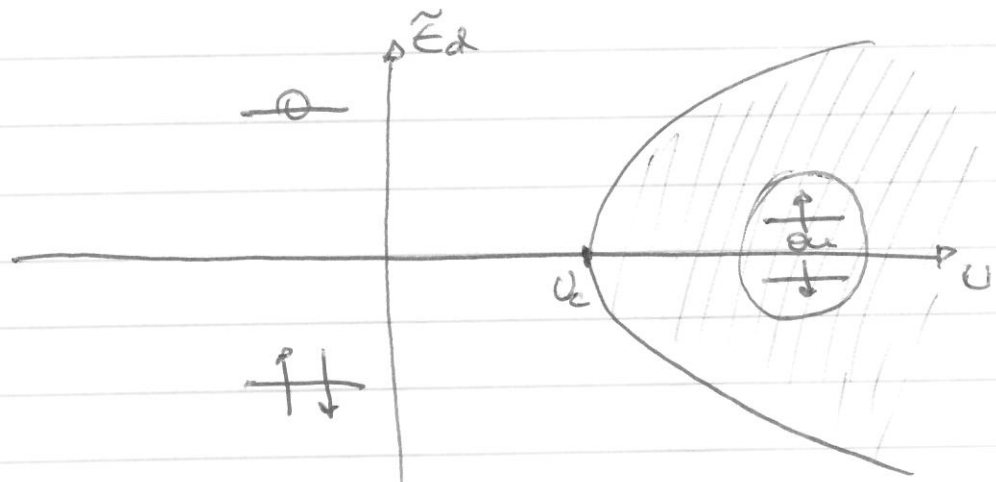
$$E_0 = E_d + \beta > 0$$

e ele não seria preenchido. Entretanto, poderíamos ajustar $\langle M_x \rangle$ a um valor intermédio tal que $E_0 \approx 0$.

A teoria H-F é auto-consistente e $\langle M_x \rangle$ tem que ser calculado no Hamiltoniano H-F. O resultado final é um diagrama de fase onde há soluções magnéticas e não magnéticas (ver figura).

Entretanto, a solução magnética quebra a simetria de rotação de spin, o que é impossível num sistema com apenas 1 grau de liberdade. Na verdade, os estados magnéticos \uparrow ou \downarrow são conectados por flutuações, que vão além de H-F. Essas flutuações são bem descritas pelo modelo de Kondo.

Dentro da teoria de campo médio proposta por Anderson em 1961 o diagrama do limite atômico é modificado e fica assim:



Uma maneira prática de se calcular o efeito da V_k quando o momento local é instável ($\epsilon_d < 0, |k_d| \rightarrow +\infty$) é através de uma transformação canônica (Schrieffer, Wolff, 1966). Para isso, escrevemos:

$$U = e^S \quad U^\dagger = U^{-1} = e^{-S}$$

$$\tilde{H} = e^S H e^{-S} = H + [S, H]_+ + \frac{1}{2} [S, [S, H]] + \dots$$

Se escrevemos:

$$H = H_0 + H_V \text{ onde}$$

$$H_0 = \sum_k \epsilon_k c_{k\sigma}^\dagger c_{k\sigma} + \epsilon_d \sum_\sigma d_\sigma^\dagger d_\sigma + U d_\uparrow^\dagger d_\downarrow d_\downarrow^\dagger d_\uparrow$$

$$H_V = \sum_{k\sigma} V_k c_{k\sigma}^\dagger d_\sigma + \text{H.C.}$$

$$\Rightarrow \tilde{H} = H_0 + H_V + [S, H_0] + [S, H_V] + \frac{1}{2} [S, [S, H_0]] + \frac{1}{2} [S, [S, H_V]]$$

Impomos agora que:

$$H_V + [S, H_0] = 0$$

de tal forma que a dependência linear em V_k desaparece em \tilde{H} . Observamente $S \propto O(V_k)$ e os outros termos da expansão serão de ordem superior em V_k . Vamos seguir até $O(V_k^3)$:

$$\tilde{H} \approx H_0 + [S, H_V] + \frac{1}{2} [S, [S, H_0]] = H_0 + \frac{1}{2} [S, [S, H_V]] + O(V_k^3)$$

Um pouco de experimentação da:

$$S = \sum_{k\sigma} V_k \left[\frac{1 - \mu_{d-\sigma}}{\epsilon_d - \epsilon_k} + \frac{\mu_{d-\sigma}}{\epsilon_d + U - \epsilon_k} \right] (d_\sigma^+ C_{k\sigma} - C_{k\sigma}^+ d_\sigma)$$

Temos que:

$$[S, \sum_{k\sigma} \epsilon_k C_{k\sigma}^+ C_{k\sigma}] = \sum_{k\sigma} \epsilon_k \sum_{p\sigma'} V_p \left[\frac{1 - \mu_{d-\sigma'}}{\epsilon_d - \epsilon_p} + \frac{\mu_{d-\sigma'}}{\epsilon_d + U - \epsilon_p} \right]$$

$$\times \underbrace{[d_{\sigma'}^+ C_{p\sigma'} - C_{p\sigma'}^+ d_{\sigma'}, C_{k\sigma}^+ C_{k\sigma}]}_{d_{\sigma'}^+ C_{k\sigma} \delta_{\sigma\sigma'} \delta_{pk} + C_{k\sigma}^+ d_{\sigma'} \delta_{pk} \delta_{\sigma\sigma'}}$$

$$= \sum_{k\sigma} \epsilon_k V_k \left[\frac{1 - \mu_{d-\sigma}}{\epsilon_d - \epsilon_k} + \frac{\mu_{d-\sigma}}{\epsilon_d + U - \epsilon_k} \right] (C_{k\sigma}^+ d_\sigma + d_\sigma^+ C_{k\sigma})$$

(Note que usamos que $[A, BC] = \{A, B\}C - B\{A, C\}$)

$$[S, \sum_{\sigma} d_\sigma^+ d_\sigma] = \epsilon_d \sum_{\sigma} \sum_{k\sigma} V_k \left[\frac{1 - \mu_{d-\sigma}}{\epsilon_d - \epsilon_k} + \frac{\mu_{d-\sigma}}{\epsilon_d + U - \epsilon_k} \right] \underbrace{[d_{\sigma'}^+ C_{k\sigma'} - C_{k\sigma'}^+ d_{\sigma'}, d_{\sigma'}^+]}_{- d_\sigma^+ C_{k\sigma} \delta_{\sigma\sigma'} - C_{k\sigma}^+ d_{\sigma'}} \delta_{\sigma\sigma'}$$

$$= -\epsilon_d \sum_{k\sigma} V_k \left[\frac{1 - \mu_{d-\sigma}}{\epsilon_d - \epsilon_k} + \frac{\mu_{d-\sigma}}{\epsilon_d + U - \epsilon_k} \right] (C_{k\sigma}^+ d_\sigma + d_\sigma^+ C_{k\sigma})$$

$$[S, U d^+ d_1 d_2 d_3] = U \sum_{k\sigma} V_k \left[\frac{1-M_{d-\sigma}}{\epsilon_d - \epsilon_k} + \frac{M_{d-\sigma}}{\epsilon_d + U - \epsilon_k} \right] [d_1^+ c_{k\sigma}^+ - c_{k\sigma}^+ d_1, d_2^+ d_3^+ d_4]$$

$\leftarrow M_{d-\sigma} [d_1^+ c_{k\sigma}^+ - c_{k\sigma}^+ d_1]$

$$= -U \sum_{k\sigma} V_k \left[\frac{1-M_{d-\sigma}}{\epsilon_d - \epsilon_k} + \frac{M_{d-\sigma}}{\epsilon_d + U - \epsilon_k} \right] (d_1^+ c_{k\sigma}^+ + c_{k\sigma}^+ d_1) M_{d-\sigma}$$

Assim:

$$[S, H_0] = \sum_{k\sigma} V_k \left[\frac{1-M_{d-\sigma}}{\epsilon_d - \epsilon_k} + \frac{M_{d-\sigma}}{\epsilon_d + U - \epsilon_k} \right] [\epsilon_k - \epsilon_d - U M_{d-\sigma}] (c_{k\sigma}^+ d_1 + H.c.)$$

$$\text{Agora: } \frac{1-M_{d-\sigma}}{\epsilon_d - \epsilon_k} + \frac{M_{d-\sigma}}{\epsilon_d + U - \epsilon_k} = \frac{\epsilon_d + U - \epsilon_k + M_{d-\sigma}(-U)}{(\epsilon_d - \epsilon_k)(\epsilon_d + U - \epsilon_k)}$$

$$\Rightarrow \left[\frac{1-M_{d-\sigma}}{\epsilon_d - \epsilon_k} + \frac{M_{d-\sigma}}{\epsilon_d + U - \epsilon_k} \right] [\epsilon_k - \epsilon_d - U M_{d-\sigma}] = \frac{(\epsilon_k - \epsilon_d)(\epsilon_d + U - \epsilon_k) - U(\epsilon_k - \epsilon_d) M_{d-\sigma}}{(\epsilon_d - \epsilon_k)(\epsilon_k + U - \epsilon_d)}$$

$$-U M_{d-\sigma} (\epsilon_d + U - \epsilon_k) + U^2 M_{d-\sigma}^2 = -1$$

$$\Rightarrow [S, H_0] = - \sum_{k\sigma} V_k (c_{k\sigma}^+ d_1 + H.c.) = -H_V$$

como queríamos.

Agora temos que calcular: $[S, H_V]$

$$[S, H_V] = \sum_{k\sigma} \sum_{p\sigma'} V_k V_p \left[\left(\frac{1 - M_{d-\sigma'}}{\epsilon_d - \epsilon_p} + \frac{M_{d-\sigma'}}{\epsilon_d + U - \epsilon_p} \right), C_{k\sigma}^+ d_\sigma + d_\sigma^+ C_{k\sigma} \right]$$

Temos vários termos:

$$\begin{aligned} & \left[\frac{1 - M_{d-\sigma'}}{\epsilon_d - \epsilon_p}, C_{k\sigma}^+ d_\sigma + d_\sigma^+ C_{k\sigma} \right] = \\ & = C_{k\sigma}^+ \left\{ \frac{\delta_{\sigma, -\sigma'} d_\sigma}{\epsilon_d - \epsilon_p} - \frac{\delta_{\sigma, \sigma'} d_\sigma}{\epsilon_d + U - \epsilon_p} \right\} + \left\{ \frac{-\delta_{\sigma, -\sigma'} d_\sigma^+}{\epsilon_d - \epsilon_p} + \frac{\delta_{\sigma, \sigma'} d_\sigma^+}{\epsilon_d + U - \epsilon_p} \right\} C_{k\sigma} \\ & = \delta_{\sigma, -\sigma'} \left\{ \frac{(C_{k\sigma}^+ d_\sigma - d_\sigma^+ C_{k\sigma})}{\epsilon_d - \epsilon_p} - \frac{(C_{k\sigma}^+ d_\sigma - d_\sigma^+ C_{k\sigma})}{\epsilon_d + U - \epsilon_p} \right\} = \\ & = \delta_{\sigma, -\sigma'} (\epsilon_{k\sigma}^+ d_\sigma - d_\sigma^+ \epsilon_{k\sigma}) \left[\frac{1}{\epsilon_d - \epsilon_p} - \frac{1}{\epsilon_d + U - \epsilon_p} \right] \end{aligned}$$

E:

$$\begin{aligned} & \left[d_{\sigma'}^+ C_{p\sigma'} - C_{p\sigma'}^+ d_{\sigma'}, C_{k\sigma}^+ d_\sigma + d_\sigma^+ C_{k\sigma} \right] = d_{\sigma'}^+ \delta_{pk} \delta_{\sigma\sigma'} d_\sigma - C_{k\sigma}^+ \delta_{\sigma\sigma'} C_{p\sigma'} \\ & - (C_{p\sigma'}^+ \delta_{\sigma\sigma'} C_{k\sigma} - d_\sigma^+ \delta_{pk} \delta_{\sigma\sigma'} d_{\sigma'}) = 2\delta_{pk} \delta_{\sigma\sigma'} M_{d\sigma} - \delta_{\sigma\sigma'} (C_{k\sigma}^+ C_{p\sigma} + C_{p\sigma}^+ C_{k\sigma}) \end{aligned}$$

Logo:

$$\begin{aligned}
 [S_{1Hv}] &= \sum_{\substack{k\sigma \\ p\sigma'}} V_k V_p \left\{ \delta_{\sigma, \sigma'} (c_{k\sigma d\sigma}^+ - d_{\sigma}^+ c_{k\sigma}) (d_{\sigma'}^+ c_{p\sigma'} - c_{p\sigma'}^+ d_{\sigma'}) \left[\frac{1}{E_d - E_p} - \frac{1}{E_d + U - E_p} \right] \right. \\
 &\quad \left. + \left(\frac{1 - M_{d-\sigma}}{E_d - E_p} + \frac{M_{d-\sigma}}{E_d + U - E_p} \right) \left[2\delta_{pk} \delta_{\sigma\sigma'} M_{d\sigma} - \delta_{\sigma\sigma'} (c_{k\sigma}^+ c_{p\sigma} + c_{p\sigma}^+ c_{k\sigma}) \right] \right\} \\
 &= 2 \sum_{k\sigma} V_k^2 \left(\frac{(1 - M_{d-\sigma}) M_{d\sigma}}{E_d - E_k} + \frac{M_{d-\sigma} M_{d\sigma}}{E_d + U - E_k} \right) + \\
 &\quad + \sum_{kp\sigma} V_k V_p (c_{k\sigma d\sigma}^+ - d_{\sigma}^+ c_{k\sigma}) (c_{p-\sigma d-\sigma}^+ - d_{-\sigma}^+ c_{p-\sigma}) \left[\frac{1}{E_d + U - E_p} - \frac{1}{E_d - E_p} \right] \\
 &- \sum_{kp\sigma} V_k V_p \left(\frac{1 - M_{d-\sigma}}{E_d - E_p} + \frac{M_{d-\sigma}}{E_d + U - E_p} \right) (c_{k\sigma}^+ c_{p\sigma} + c_{p\sigma}^+ c_{k\sigma})
 \end{aligned}$$

~~Definindo~~ Definindo:

$$J_{kp} = V_k V_p \left[\frac{1}{E_d + U - E_p} + \frac{1}{E_d + U - E_k} - \frac{1}{E_d - E_p} - \frac{1}{E_d - E_k} \right] e$$

$$W_{kp} = V_k V_p \left[\frac{1}{E_d - E_p} + \frac{1}{E_d - E_k} \right]$$

e notando que:

$$\sum_{\sigma} (c_{k\sigma d\sigma}^+ - d_{\sigma}^+ c_{k\sigma}) (c_{p-\sigma d-\sigma}^+ - d_{-\sigma}^+ c_{p-\sigma})$$

$$c_{k\sigma}^+ c_{p\sigma} + c_{p\sigma}^+ c_{k\sigma}$$

Não simétricos sob $\vec{k} \neq \vec{p}$, podemos escrever

$$\begin{aligned}
 [S, H_V] = & \sum_{k\sigma} W_{kk} M_{d\sigma} - \frac{1}{2} \sum_{kp\sigma} W_{kp} (c_{k\sigma}^+ c_{p\sigma} + h.c.) \\
 & + \sum_{k\sigma} \cancel{J_{kk}} M_{d\sigma} M_{d-\sigma} - \frac{1}{2} \sum_{kp\sigma} \cancel{J_{kp}} M_{d-\sigma} (c_{k\sigma}^+ c_{p\sigma} + h.c.) \\
 & + \frac{1}{2} \sum_{kp\sigma} J_{kp} (c_{k\sigma}^+ d_\sigma - d_\sigma^+ c_{k\sigma}) (c_{p-\sigma}^+ d_{-\sigma} - d_{-\sigma}^+ c_{p-\sigma})
 \end{aligned}$$

O último termo pode ser expandido:

$$\begin{aligned}
 U.t. = & \frac{1}{2} \sum_{kp\sigma} J_{kp} \left[+ c_{k\sigma}^+ c_{p-\sigma}^+ d_\sigma d_{+\sigma} + d_\sigma^+ d_{-\sigma}^+ c_{p-\sigma} c_{k\sigma} \right. \\
 & \left. + (c_{k\sigma}^+ c_{p-\sigma})(d_{-\sigma}^+ d_\sigma) + c_{k\sigma}^+ c_{p-\sigma} d_{-\sigma}^+ d_\sigma \right] \\
 = & \frac{1}{2} \sum_{kp\sigma} J_{kp} \left[c_{k\sigma}^+ c_{p-\sigma}^+ d_{-\sigma} d_{+\sigma} + h.c. \right] + \sum_{kp\sigma} J_{kp} (c_{k\sigma}^+ c_{p-\sigma})(d_{-\sigma}^+ d_\sigma)
 \end{aligned}$$

Mas vimos que:

$$\begin{aligned}
 \sum_\sigma c_{k\sigma}^+ c_{p-\sigma}^+ d_{-\sigma}^+ d_\sigma = & \frac{1}{2} \sum_{\substack{\alpha\beta \\ \gamma\delta}} \left[(c_{k\alpha}^+ \sigma_x^{\alpha\beta} c_{p\beta}^+) (d_\gamma^+ \sigma_x^{\gamma\delta} d_\delta) + \right. \\
 & \left. + (c_{k\alpha}^+ \sigma_y^{\alpha\beta} c_{p\beta}^+) (d_\gamma^+ \sigma_y^{\gamma\delta} d_\delta) \right] \\
 = & 2 \left(S_{ckp}^x S_d^x + S_{ckp}^y S_d^y \right)
 \end{aligned}$$

Aímos disso:

$$\begin{aligned}
 \sum_{kp\sigma} J_{kp} M_{d-\sigma} (c_{k\sigma}^+ c_{p\sigma} + h.c.) = & 2 \sum_{kp\sigma} J_{kp} M_{d-\sigma} (c_{k\sigma}^+ c_{p\sigma}) \\
 = & \sum_{kp\sigma} J_{kp} (M_d) (\sum_\sigma c_{k\sigma}^+ c_{p\sigma}) - \sum_{kp} J_{kp} (4) S_d^3 S_{ckp}^3
 \end{aligned}$$

Juntando o quarto e o quinto termos:

$$4\sigma + 5\sigma = -\frac{1}{2} M_d \sum_{kp\sigma} J_{kp} C_{k\sigma}^+ C_{p\sigma} + 2 \sum_{kp} J_{kp} \vec{S}_{kp} \cdot \vec{S}_d \\ + \frac{1}{2} \sum_{kp\sigma} J_{kp} [C_{k\sigma}^+ C_{p-\sigma}^+ d_{-\sigma} d_{+\sigma} + h.c.]$$

Finalmente:

$$[S, H_V] = \sum_{k\sigma} (W_{kk} + J_{kk} M_{d-\sigma}) M_{d\sigma} - \sum_{kp\sigma} (W_{kp} + \frac{M_d}{2} J_{kp}) C_{k\sigma}^+ C_{p\sigma} \\ + 2 \sum_{kp} J_{kp} \vec{S}_{kp} \cdot \vec{S}_d + \frac{1}{2} \sum_{kp\sigma} J_{kp} [C_{k\sigma}^+ C_{p-\sigma}^+ d_{-\sigma} d_{+\sigma} + h.c.]$$

Finalmente:

$$\tilde{H} \approx H_0 + \frac{1}{2} [S, H_V]$$

Restringindo-nos ao subespaço $m_d = 1$, o primeiro termo acima é uma constante:

$$\sum_k W_{kk}$$

O segundo termo nos dá espalhamento potencial dos elétrons de condução:

$$-\sum_{kp\sigma} (W_{kp} + \frac{J_{kp}}{2}) C_{k\sigma}^+ C_{p\sigma}$$

e o último termo, que é do tipo transição de paro, nos tira do sub-espaço $m_d = 1$

Porta-nos portanto apenas:

$$\begin{aligned}\tilde{H} &\approx \sum_{k\sigma} E_k c_{k\sigma}^+ c_{k\sigma} + \sum_{kp} J_{kp} \vec{S}_{kp} \cdot \vec{S}_d \\ &= \sum_{k\sigma} E_k c_{k\sigma}^+ c_{k\sigma} + \frac{1}{2} \sum_{kp} J_{kp} (c_{k\alpha}^+ \vec{S}_{k\beta} c_{p\beta}) \cdot \vec{S}_d\end{aligned}$$

Se nos concentrarmos em $(\vec{k}) \sim k_F$ termos:

$$J_{kk_F} = 2V_{k_F} V_{k_F} \left[\frac{1}{E_d+U} - \frac{1}{E_d} \right] = 2V_{k_F}^2 \frac{(-U)}{E_d(E_d+U)} > 0$$

se $E_d < 0$ e $E_d+U > 0$ como assumimos. Portanto

$$J \sim J_{kk_F} > 0$$

a interacão é AFM. Note que o fenômeno é basicamente de hyperexchange que é sempre AFM.

O Hamiltoniano acima é o Hamiltoniano de Kondo e ele é o limite do Hamiltoniano de Anderson quando o momento local é bem formado:

$$E_d < 0 \quad |E_d| \rightarrow +\infty \quad e \quad U \rightarrow +\infty.$$

$$\text{com } \frac{V_{k_F}^2 U}{E_d(E_d+U)} \rightarrow \text{constante.}$$

Tanto o Hamiltoniano de Anderson quanto o de Kondo têm solução exata. Além disso, existem várias outras técnicas aproximadas que permitem a elucidacão da física desse sistema.

Uma das principais conclusões que se tira dessa análise é o fato de que o estado fundamental do sistema é um singuleto ($S=0$), apesar de haver um momento localizado a altas temperaturas. Os elétrons de condução "blindam" eficacemente o momento local e formam com ele um estado de $S=0$. Esse processo de blindagem do momento local é ~~o~~ conhecido como efeito Kondo.